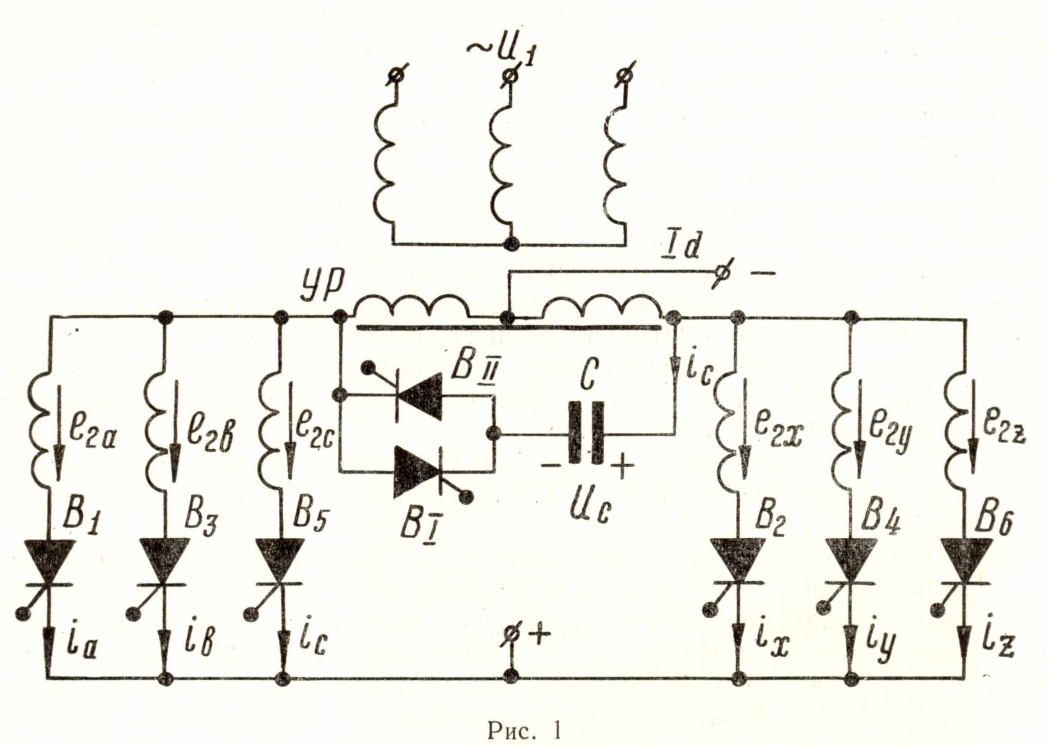
TOM 211 1970

# К РАСЧЕТУ ЭЛЕКТРОМАГНИТНЫХ ПРОЦЕССОВ В ШЕСТИФАЗНОМ КОМПЕНСАЦИОННОМ ПРЕОБРАЗОВАТЕЛЕ С УРАВНИТЕЛЬНЫМ РЕАКТОРОМ

#### А. И. ЗАЙЦЕВ, А. А. ҚУВШИНОВ

Работа компенсационного преобразователя сопровождается сложными электромагнитными процессами, протекание которых зависит от многих параметров схемы, содержащей нелинейные элементы (вентили) и магнитные



связи. Токи, протекающие по обмоткам трансформатора, вентилям, коммутирующим конденсаторам, содержат широкий спектр высших гармонических. Напряжения, приложенные к отдельным элементам схемы, также несинусоидальны.

Определение токов преобразователя из-за перекрытия вентилей представляет нелинейную задачу, так как продолжительность перекрытия вследствие нелинейности вентилей зависит от режима нагрузки. В рассматриваемом шестифазном компенсационном преобразователе с уравнительным реактором (рис. 1) исследование электромагнитных процессов осложняется тем, что коммутация двухступенчатая и в узле искусственной коммутации имеются дополнительные нелинейные элементы — вентили. В результате

3

1\*

компенсационный преобразователь работает в разных режимах с различным числом и сочетанием включенных силовых и коммутирующих вентилей. Каждый из этих режимов имеет свои особенности в протекании электромагнитных процессов. По существу, установившийся режим работы компенсационного вентильного преобразователя представляет собой непрерывный ряд переходных процессов, возникающих при отпирании или запирании вентилей.

Существует достаточно большое количество методов анализа и расчета схем с нелинейными элементами. Однако аналитическое исследование электромагнитных процессов в таких схемах сопряжено со значительными трудностями. Уравнения, которые получают в результате такого исследования, оказываются весьма сложными и зачастую вообще неразрешимыми.

Наиболее целесообразным и весьма наглядным методом анализа электромагнитных процессов в преобразователях с двухступенчатой искусственной коммутацией, дающим возможность достаточно просто получить мгновенные и интегральные характеристики, является метод кусочно-линейной аппроксимации. Вольт-амперные характеристики вентилей заменяются отрезками прямых, в результате чего их можно считать линейными в пределах определенных интервалов времени. Если весь период работы компенсационного преобразователя разделить на ряд интервалов, в пределах которых все элементы схемы линейны, то рассмотрение электромагнитных процессов в нелинейной схеме сводится к решению линейной задачи. Однако процесс в целом остается нелинейным, так как моменты перехода процесса в нелинейном элементе с одного участка его характеристики на другой зависят от токов и напряжений в цепи [1].

Применение данного метода оправдывается еще и тем, что вольт-амперные характеристики выпускаемых в настоящее время полупроводниковых вентилей очень хорошо аппроксимируются малым количеством прямолинейных отрезков, что существенно влияет на упрощение решения задачи.

При исследовании электромагнитных процессов в компенсационном преобразователе принимаем следующие допущения:

1. Намагничивающие токи трансформатора и уравнительного реактора не учитываются при рассмотрении процессов в схеме.

2. Активные сопротивления обмоток трансформаторов и уравнительного реактора и собственные емкости элементов схемы малы и не учитываются при рассмотрении процессов в схеме.

3. Падением напряжения на вентилях во включенном состоянии пренебрегаем; сопротивления вентилей в выключенном состоянии бесконечно большие.

4. Параметры силового трансформатора и ток нагрузки постоянны.

Принятые допущения являются обычными и широко распространенными при исследовании электромагнитных процессов в вентильных преобразователях трехфазного тока [2]. Величина получаемой погрешности зависит от мощности исследуемого преобразователя и формы характеристик вентилей. С ростом мощности преобразователя и приближением характеристик вентилей к идеальным величина получаемой погрешности уменьшается.

Особенности работы шестифазного компенсационного преобразователя с уравнительным реактором были рассмотрены в [3]. При нормальных нагрузках в данном преобразователе включены поочередно либо один, либо два силовых вентиля. При увеличении тока нагрузки сверх определенного предела, который зависит от параметров узла искусственной коммутации, происходит срыв искусственной коммутации. Это — аварийный режим, при котором нужно либо отключить преобразователь, либо перевести его в режим работы с естественной коммутацией. Эти функции должна выполнять схема управления.

Поэтому для исследования электромагнитных процессов в компенсационном преобразователе с двухступенчатой искусственной коммутацией

достаточно рассмотреть подробно два режима: режим при двух одновременно включенных силовых вентилях и режим при одном включенном силовом вентиле.

## Режим при двух одновременно включенных силовых вентилях

Найдем уравнения для токов и напряжений в промежутке  $0 < \vartheta <$  $<\frac{\pi}{3}-\vartheta_{\Pi}$ , когда включены силовые вентили 1 и 2. Этот промежуток (1) можно разбить на три участка (рис. 2):

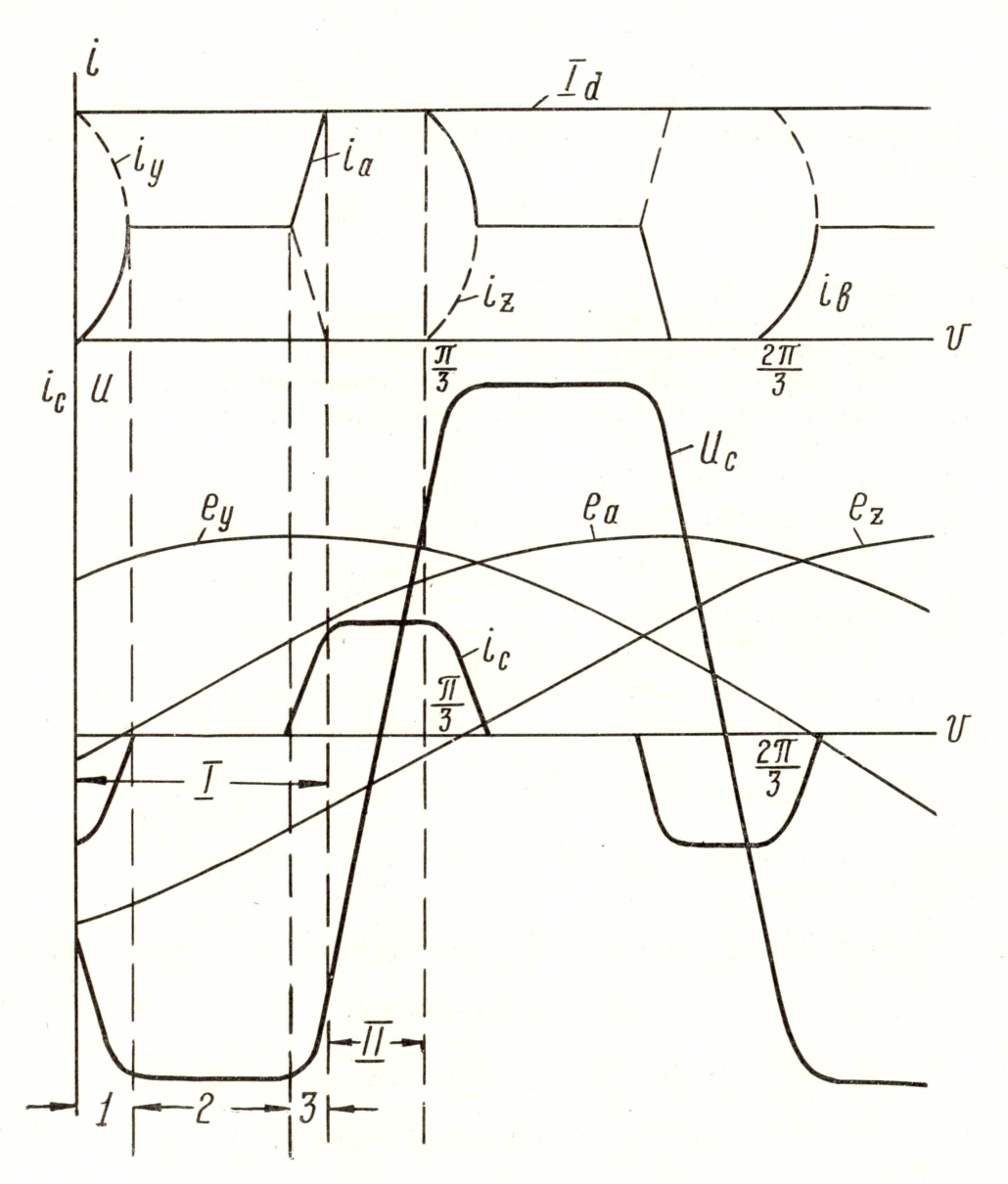


Рис. 2.

1) включение вентиля 1, 0 <  $\vartheta$  <  $\vartheta_{\kappa 2}$ ; 2) работа при включенном узле искусственной коммутации,  $\vartheta_{\kappa 2}$  < $<\vartheta<rac{\pi}{3}-\vartheta_{\pi}-\vartheta_{\kappa 1};$ 

3) выключение вентиля 2,  $\frac{\pi}{3} - \vartheta_{\pi} - \vartheta_{\kappa 1} < \vartheta < \frac{\pi}{3} - \vartheta_{\pi}$ . Здесь  $\vartheta_{\kappa 1}$  — длительность первой коммутации;

 $\vartheta_\pi$  — длительность протекания по конденсатору постоянного тока;  $\vartheta_{\kappa\,2}$  — длительность второй коммутации.

Во время работы преобразователя с выключенным узлом коммутации, ток коммутирующего конденсатора  $i_c$  равен нулю, напряжение на нем равно постоянной величине —  $I_{c0}$ , анодные токи равны между собой и составляют половину тока нагрузки  $I_d$ .

При включении вентиля 1 и выключении вентиля 2 контур коммутации один и тот же (вторичные обмотки трансформатора a и y и коммутирующий конденсатор C), поэтому электромагнитные процессы, происходящие в схеме при включении вентиля 1 и выключении вентиля 2, опишутся одинаковыми уравнениями:

$$\begin{split} i_a &= \frac{I_d}{2} + i_c, & i_y &= \frac{I_d}{2} - i_c, \\ i_c &= C \frac{du_c}{dt}, & I_d &= i_a + i_y. \end{split} \tag{1}$$

Составляя уравнение э. д. с. в контуре коммутации и учитывая (1), получаем

$$2LC\frac{d^2u_c}{dt^2} + u_c = -I_{\rm m}\cos\left(\frac{\pi}{6} + \psi_0 + \vartheta\right),\tag{2}$$

 $i_a,\ i_y$  — анодные токи; C — емкость коммутирующего конденсатора;

L — индуктивность одной фазы трансформатора;

 $I_{
m m}$  — амплитуда вторичного напряжения трансформатора;  $I_{
m c}$  — напряжение коммутирующего конденсатора;

$$\psi_0 = \frac{\pi}{6} - \vartheta_r + \vartheta_{\kappa 1} + \vartheta_{\pi},$$

 $\vartheta_{\rm r}$  — угол гашения, отсчитываемый влево от точки естественного зажигания вентилей.

Граничные условия для уравнения (2) будут различными для периодов первой и второй коммутаций.

Для второй коммутации:

$$(u_c)_{\vartheta=0} = -U_{\mathrm{m}}\cos\left(\frac{\pi}{6} + \psi_0\right), \qquad (j_c)_{\vartheta=0} = -\frac{I_d}{2}.$$

Для первой коммутации

$$(u_c)_{\vartheta = \frac{\pi}{3} - \vartheta_{\Pi} - \vartheta_{K1}} = -U_{co},$$
  $(i_c)_{\vartheta = \frac{\pi}{3} - \vartheta_{\Pi} - \vartheta_{K1}} = 0.$ 

Тогда решение уравнения (2) для периода второй коммутации запишется следующим образом:

$$u_{c} = \frac{U_{m}}{\varepsilon^{2} - 1} \left[ \cos \left( \frac{\pi}{6} + \psi_{0} \right) \cos \varepsilon \vartheta - \varepsilon \sin \left( \frac{\pi}{6} + \psi_{0} \right) \sin \varepsilon \vartheta - \varepsilon^{2} \cos \left( \frac{\pi}{6} + \psi_{0} + \vartheta \right) \right] - I_{d} \omega L \varepsilon \sin \varepsilon \vartheta, \tag{3}$$

$$i_{c} = \frac{\omega C \varepsilon U_{m}}{\varepsilon^{2} - 1} \left[ \varepsilon \sin \left( \frac{\pi}{6} + \psi_{0} + \vartheta \right) - \cos \left( \frac{\pi}{6} + \psi_{0} \right) \sin \varepsilon \vartheta - \right.$$

$$\left. - \varepsilon \sin \left( \frac{\pi}{6} + \psi_{0} \right) \cos \varepsilon \vartheta \right] - \frac{I_{d}}{2} \cos \varepsilon \vartheta, \tag{4}$$

где 
$$\varepsilon = \frac{1}{\omega \sqrt{2LC}}$$
 .

Решение уравнения (2) для периода первой коммутации имеет следующий вид:

$$u_{c} = -\left[U_{co} - \frac{\varepsilon^{2} U_{m}}{\varepsilon^{2} - 1} \cos\left(\frac{2\pi}{3} - \vartheta_{r}\right)\right] \cos \varepsilon \left(\vartheta - \frac{\pi}{3} + \vartheta_{\kappa 1} + \vartheta_{\pi}\right) - \frac{\varepsilon U_{m}}{\varepsilon^{2} - 1} \sin\left(\frac{2\pi}{3} - \vartheta_{r}\right) \sin \varepsilon \left(\vartheta - \frac{\pi}{3} + \vartheta_{\kappa 1} + \vartheta_{\pi}\right) + \varepsilon \cos\left(\frac{\pi}{6} + \psi_{0} + \vartheta\right)\right], (5)$$

$$i_{c} = \omega C \varepsilon \left\{ \left[ U_{co} - \frac{\varepsilon^{2} U_{m}}{\varepsilon^{2} - 1} \cos \left( \frac{2\pi}{3} - \vartheta_{r} \right) \right] \sin \varepsilon \left( \vartheta - \frac{\pi}{3} + \vartheta_{\kappa 1} + \vartheta_{\pi} \right) - \frac{\varepsilon U_{m}}{\varepsilon^{2} - 1} \left[ \sin \left( \frac{2\pi}{3} - \vartheta_{r} \right) \cos \varepsilon \left( \vartheta - \frac{\pi}{3} + \vartheta_{\kappa 1} + \vartheta_{\pi} \right) - \sin \left( \frac{\pi}{6} + \psi_{0} + \vartheta \right) \right] \right\}. (6)$$

Значения анодных токов получим, подставив (4) и (6) в (1).

### Режим при одном включенном силовом вентиле (перезаряд коммутирующего конденсатора постоянным током)

Так как ток нагрузки есть величина постоянная, то по коммутирующему конденсатору в промежутке  $\frac{\pi}{3}-\vartheta_{\Pi}<\vartheta<\frac{\pi}{3}$  протекает постоянный ток, равный половине тока нагрузки (участок ІІ, рис. 2). Напряжение на коммутирующем конденсаторе изменяется в это время по линейному закону:

$$u_c = \frac{I_d}{2\omega C} \left( \vartheta - \frac{\pi}{3} \right) + (u_c)_{\vartheta} = \frac{\pi}{3}. \tag{7}$$

Подставляя в (7) значение  $(u_c)_{\vartheta = \frac{\pi}{3}} = (-u_c)_{\vartheta = 0}$  , получаем

$$u_c = \frac{I_d}{2\omega C} \left( \vartheta - \frac{\pi}{3} \right) + U_m \cos \left( \frac{\pi}{6} + \psi_0 \right). \tag{8}$$

Анодный ток в этом промежутке равен току нагрузки  $I_d$ .

# Определение длительности коммутации и начального напряжения на коммутирующем конденсаторе

Подлежат определению длительности первой и второй коммутаций  $\vartheta_{\kappa 1}$  и  $\vartheta_{\kappa 2}$ , длительность работы одного силового вентиля  $\vartheta_{\pi}$  и начальное напряжение на коммутирующем конденсаторе  $I_{co}$ . Для их определения

имеем следующие четыре условия:

1) при  $\vartheta = \vartheta_{_{\rm K\,2}}$  ток  $i_c$ , определяемый выражением (4), равен нулю;

2) при  $\vartheta = \vartheta_{_{\rm K\,2}}$  напряжение  $u_c$ , определяемое выражением равно —  $I_{co}$ ;

3) при  $\vartheta=\frac{\pi}{3}$  —  $\vartheta_{\Pi}$  ток  $i_c$ , определенный из формулы (6), равен  $\frac{I_d}{2}$  ;

4) при  $\vartheta = \frac{\pi}{3} - \vartheta_{\Pi}$  напряжение  $u_c$ , определяемое из выражения (5), равно напряжению и, определенному из выражения (8).

Условия 1 и 2 вытекают из самого принципа действия узла искусственной коммутации. Условия 3 и 4 вытекают из требований правильного сопряжения режимов на границах последовательных интервалов времени, в которые включены различные сочетания силовых и коммутирующих

В итоге получим четыре трансцендентных уравнения, которые в общем виде неразрешимы.

# Упрощение решения. Пренебрежение изменением фазных Э. Д. С. в интервалах работы узла искусственной коммутации

Вышеприведенные уравнения значительно упрощаются, если при исследовании электромагнитных процессов, происходящих в контуре коммутации, принять допущение о постоянстве фазных э. д. с. трансформатора преобразователя в интервалах работы узла искусственной коммутации (первая коммутация, период работы одного силового вентиля, вторая коммутация)

Учитывая вышесказанное, получаем следующие упрощенные уравнения:

Вторая коммутация:

$$u_c = -I_d \omega L \epsilon \sin \epsilon \vartheta - U_m \cos \left(\frac{\pi}{6} + \psi_0\right),$$
 (9)

$$i_c = -\frac{I_d}{2}\cos\varepsilon\vartheta. \tag{10}$$

Учитывая условия 1 и 2, получаем из (9) и (10):

$$\vartheta_{\kappa 2} = \frac{\pi}{2 \, \varepsilon} \,; \tag{11}$$

$$U_{co} = I_d \omega L \varepsilon + U_{\rm m} \cos\left(\frac{\pi}{6} + \psi_0\right). \tag{12}$$

Первая коммутация:

$$u_{c} = -\left[2U_{\rm m}\cos\left(\vartheta_{\rm r} - \frac{\vartheta_{\rm Kl} + \vartheta_{\rm n}}{2}\right)\sin\left(\frac{\pi}{6} - \frac{\vartheta_{\rm Kl} + \vartheta_{\rm n}}{2}\right) + I_{d}\omega L \varepsilon\right]\cos\varepsilon\left(\vartheta - \frac{\pi}{3} + \vartheta_{\rm Kl} + \vartheta_{\rm n}\right) - U_{\rm m}\cos\left(\frac{2\pi}{3} - \vartheta_{\rm r}\right), \quad (13)$$

$$i_{c} = \omega C \varepsilon\left[2U_{\rm m}\cos\left(\vartheta_{\rm r} - \frac{\vartheta_{\rm Kl} + \vartheta_{\rm n}}{2}\right)\sin\left(\frac{\pi}{6} - \frac{\vartheta_{\rm Kl} + \vartheta_{\rm n}}{2}\right) + I_{d}\omega L \varepsilon\right]\sin\varepsilon\left(\vartheta - \frac{\pi}{3} + \vartheta_{\rm Kl} + \vartheta_{\rm n}\right). \quad (14)$$

#### Перезаряд коммутирующего конденсатора постоянным током

Уравнение для напряжения коммутирующего конденсатора  $u_c$  имеет тот же вид (8), что и прежде.

Из условий 3 и 4 получим два трансцендентных уравнения:

$$\begin{split} I_{d}(1\sin\epsilon\vartheta_{_{\mathrm{K}\mathbf{1}}}) &= 4\epsilon\omega\,CU_{\mathrm{m}}\cos\left(\vartheta_{_{\mathrm{T}}} - \frac{\vartheta_{_{\mathrm{K}\mathbf{1}}} + \vartheta_{_{\mathrm{n}}}}{2}\right)\sin\left(\frac{\pi}{6} - \frac{\vartheta_{_{\mathrm{K}\mathbf{1}}} + \vartheta_{_{\mathrm{n}}}}{2}\right)\sin\epsilon\,\vartheta_{_{\mathrm{K}\mathbf{1}}}, \\ I_{d}(\epsilon\vartheta_{_{\mathrm{H}}}\,\mathrm{tg}\,\epsilon\,\vartheta_{_{\mathrm{K}\mathbf{1}}} - 1) &= 4\epsilon\omega\,CU_{\mathrm{m}}\sin\left(\vartheta_{_{\mathrm{T}}} - \frac{\vartheta_{_{\mathrm{K}\mathbf{1}}} + \vartheta_{_{\mathrm{n}}}}{2}\right)\cos\left(\frac{\pi}{6} - \frac{\vartheta_{_{\mathrm{K}\mathbf{1}}} + \vartheta_{_{\mathrm{n}}}}{2}\right)\,\mathrm{tg}\,\epsilon\vartheta_{_{\mathrm{K}\mathbf{1}}}\,. \end{split}$$

Уравнения (15) и (16) дают возможность при данных  $\vartheta_{\bf r}$ , L, C,  $I_d$  определить, задаваясь рядом значений угла  $\vartheta_{\bf n}$ , две кривые

 $\vartheta_{_{\mathrm{K}\,1}}=f_{_{1}}\,(\vartheta_{_{\Pi}})$  и  $\vartheta_{_{\Pi}\,1}=f_{_{2}}\,(\vartheta_{_{\Pi}}).$  Точка пересечения этих кривых определяет значения  $\vartheta_{_{\mathrm{K}\,\!\Pi}}$  и  $\vartheta_{_{\Pi}}$ , соответству-

ющие данным параметрам преобразователя.

Чтобы оценить погрешность, вносимую в расчеты допущением постоянства фазных э. д. с. в периоды коммутации, на ЭЦВМ по формулам (3) — (8) были рассчитаны основные величины, характеризующие электромагнитные процессы компенсационного преобразователя для различных L, C,  $\vartheta_2$ . Для этих же параметров был проведен расчет по упрощенным формулам (9) — (16). Результаты расчетов для всех углов гашения  $\vartheta_2$  отличались не больше, чем на 15%.

На рис. 2 построены расчетные кривые анодных токов  $i_a$ ,  $i_y$ ,  $i_z$ ,  $i_b$ , тока  $i_c$  и напряжения  $u_c$  коммутирующего конденсатора для случая, когда  $L=0.157\ 10^{-3}$  гн,  $C=350\ 10^{-6}$  ф.,  $\vartheta_2=\frac{\pi}{3}$ ,  $I_d=500\ a$ ,  $U_{\rm m}=278\ в$ .

Построение кривой тока  $i_a$  выполненного следующим образом. В интервалах  $0 < \vartheta < \vartheta_{\kappa_2}$  и  $\frac{\pi}{3} - \vartheta_{\pi} - \vartheta_{\kappa_1} < \vartheta < \frac{\pi}{3} - \vartheta_{\pi}$  по уравнениям (1), (10) и (14) построены участки кривых  $i_a$  и  $i_y$ . В интервале  $\vartheta_{\kappa_2} < \vartheta < \frac{\pi}{3} - \vartheta_{\pi} - \vartheta_{\pi}$ , когда узел искусственной коммутации не работает, анодные токи  $i_a$  и  $i_y$  равны половине тока нагрузки  $I_d$ . В интервале работы одного

силового вентиля  $\frac{\pi}{3}-\vartheta_{\Pi}<\vartheta<\frac{\pi}{3}$  анодный ток  $i_{a}$  равен току нагрузки  $I_{\rm d}$ . Затем путем смещения участка кривой  $i_{\rm y}$ , построенного в интервале  $0 < \vartheta < \frac{\pi}{3} - \vartheta_{\pi}$ , на угол  $\frac{\pi}{3}$  вправо была получена вся кривая анодного

По выражениям (9), (13) и (8) строится один полупериод кривой напряжения на коммутирующем конденсаторе  $u_c$ . Второй полупериод строится как зеркальное отображенке первого, смещенное на угол  $\frac{\pi}{3}$  вправо.

Зная величины и формы кривых анодных токов и напряжения на коммутирующем конденсаторе, можно определить все другие интересующие нас величины (первичный ток и напряжение на вторичных обмотках трансформатора, напряжение на уравнительном реакторе, напряжение на силовых вентилях и т. д.).

#### ЛИТЕРАТУРА

1. С. Р. Глинтерник. Электромагнитные процессы и режимы мощных статических преобразователей. Изд. «Наука», Л., 1968.

2. М. П. Костенко, Л. Р. Нейман, Г. Н. Блавдзевич. Электромагнитные процессы в системах с мощными выпрямительными установками. Изд. АН СССР,

М.—Л., 1946. 3. А. И. Зайцев, Ю. М. Ачкасов, М. А. Боровиков, В. Н. Мишин, А. А. Кувшинов, В. П. Обрусник, В. Н. Чирьев. Узел искусственной коммутации на тиристорах для шестифазного преобразователя с уравнительным реактором. Известия ТПИ, т. 161, 1967.